

Аннотация

В двумерном приближении теоретически исследуются плотность и ток вероятности для фотоэлектрона в области локализации квантового вихря. Волновая функция в импульсном представлении, найденная нами ранее, упрощается вблизи нуля, соответствующего центру вихря. Это позволяет получить для неё простое аналитическое выражение, имеющее структуру гауссова волнового пакета и содержащее основную информацию о вихре. С его помощью анализируется временная эволюция квантового вихря, как в импульсном, так и координатном пространстве. Также исследуется влияние величины напряжённости ионизирующего сверхкороткого лазерного импульса на геометрию квантового вихря.

Волновая функция фотоэлектрона вблизи центра квантового вихря

Н.В. Ларионов, Ю.Л. Колесников

8 февраля 2024 г.

1 Введение

Ранее нами исследовались квантовые вихри, образующиеся при надбарьерной ионизации двумерного атома водорода сверхкоротким лазерным импульсом (см. [1]-[3] и ссылки там же). Расчёты проводились как с помощью численного решения уравнения Шредингера, так и с помощью аналитического выражения для волновой функции фотоэлектрона, полученной в рамках второго порядка нестационарной теории возмущений. Эта волновая функция изначально выведена в импульсном k -представлении и идентификация центров квантовых вихрей, а также анализ «симметричного» потока вероятности [4], проводились в соответствующем k -пространстве. Переход из k -пространства в обычное координатное пространство, для упомянутой волновой функции, выполнен не был. Причина этому – существенные трудности при двумерном преобразовании Фурье.

В данной статье, для случая хорошо локализованных вихрей, нам удаётся упростить упомянутую волновую функцию фотоэлектрона таким образом, что она записывается в виде произведения гауссовой функции от модуля импульса $k = |\mathbf{k}|$ на полином второй степени относительно проекций k_x, k_y . Такая упрощённая волновая функция не теряет информацию о квантовом вихре и позволяет легко исследовать его и в координатном пространстве.

В работе традиционно используется атомная система единиц: $\hbar = 1$, $m_e = 1$, $e = 1$.

2 Теоретическая модель

Рассматриваемая нами модель представлена двумерным атомом водорода [5], взаимодействующим со сверхкоротким лазерным импульсом, напряжённость $\mathbf{F}(t)$ электрического поля которого равна

$$\begin{aligned} \mathbf{F}(t) &= (F_x(t), 0) = \\ &= \mathbf{e}_x F_0 \cos(\omega t - \alpha) [\theta(T - t) - \theta(-t)], \end{aligned} \quad (1)$$

где \mathbf{e}_x – единичный вектор в направлении оси x , ω – частота, $\theta(t)$ – функция Хевисайда, T – длительность импульса, α – начальная фаза. Значения постоянной амплитуды F_0 берутся такими чтобы преобладает надбарьерная ионизация.

Волновая функция фотоэлектрона в k -представлении, полученная нами ранее в рамках второго порядка нестационарной теории возмущений [2, 3], имеет вид

$$\begin{aligned}\tilde{\Psi}(\mathbf{k}, t) = & \sum_m \int_0^\infty b_{k',m}(t) \Psi_{k',m}^{(0)}(\mathbf{k}) e^{-iE_{k'}t} k' dk' = \\ & -i\sqrt{\frac{2}{\pi}} b_{k,1,10}^{(1)}(t) \cos(\varphi_k) e^{-iE_k t} + \\ & + \frac{1}{\sqrt{2\pi}} b_{k,0,10}^{(2)}(t) e^{-iE_k t} - \\ & - \sqrt{\frac{2}{\pi}} b_{k,2,10}^{(2)}(t) \cos(2\varphi_k) e^{-iE_k t}.\end{aligned}\quad (2)$$

Здесь (k, φ_k) - полярные координаты импульса \mathbf{k} фотоэлектрона с энергией

$$E_k = k^2/2 = (k_x^2 + k_y^2)/2,$$

и проекцией момента на ось z $m = 0, \pm 1, \pm 2, \dots$

$\Psi_{k',m}^{(0)}(\mathbf{k})$ - цилиндрическая волна с амплитудой

$$b_{k',m}(t) = b_{k',m,10}^{(1)}(t) + b_{k',m,10}^{(2)}(t),$$

где верхние индексы $i = 1, 2$ указывают на порядок теории возмущений, а нижний индекс «10» указывает на начальное связанные состояние электрона. Отметим, что в (2) полностью игнорируется связь с атомным остатком.

Амплитуды $b_{k,m,10}^{(i)}(t)$ могут быть записаны в следующем виде

$$b_{k,1,10}^{(1)}(t) = \frac{-3ik}{(k^2 + 1)^{5/2}} \int_0^t dt' F_x(t') e^{i\omega_{k1}t'}, \quad (3)$$

$$\begin{aligned}b_{k,0,10}^{(2)}(t) = & (-i) \int_0^t dt' F_x(t') \times \\ & \times \left(\frac{\partial}{\partial k} - ikt' + \frac{1}{k} \right) b_{k,1,10}^{(1)}(t'), \\ b_{k,2,10}^{(2)}(t) = & \frac{i}{2} \int_0^t dt' F_x(t') \times \\ & \times \left(\frac{\partial}{\partial k} - ikt' - \frac{1}{k} \right) b_{k,1,10}^{(1)}(t') +\end{aligned}\quad (4)$$

где $\omega_{k1} = (k^2 + 1)/2$ - частота перехода из связанных состояний в непрерывный спектр.

Рассмотрим случай установившегося решения $t > T$ и выберем такие параметры T, w, α лазерного импульса, для которых ранее были идентифицированы хорошо локализованные квантовые вихри [1, 3].

Так для $T = 4, w = \pi, \alpha = 0$ интегралы (3), (4) легко берутся и волновая функция фотоэлектрона (2) принимает вид

$$\begin{aligned}\tilde{\Psi}(k, \varphi_k, t) = & A \cdot \frac{\sin(k^2 + 1)}{(k^2 + 1)^{3/2}} e^{ik^2 - iE_k t} \times \\ & \times \left[\frac{k \cos(\varphi_k)}{(k^2 + 1)^2 - 4\pi^2} \left(1 + \frac{2iF_0 k \cos(\varphi_k) (7(k^2 + 1)^2 - 4\pi^2)}{(k^2 + 1)^2 ((k^2 + 1)^2 - 16\pi^2)} \right) - \right. \\ & \left. - \frac{2iF_0}{(k^2 + 1)((k^2 + 1)^2 - 16\pi^2)} \right],\end{aligned}\quad (5)$$

где A - константа. Здесь члены с F_0 соответствуют второму порядку теории возмущений, а члены свободные от этой амплитуды – первому порядку.

Для используемых параметров импульса центры двух симметричных квантовых вихрей, являющиеся нулями волновой функции (5), имеют декартовы координаты $k_{x_0} = 0, k_{y_0} = \pm\sqrt{2\pi - 1}$ или следующие полярные координаты $k_0 = \sqrt{2\pi - 1}, \varphi_0 = \pi/2, 3\pi/2$. А векторное поле «симметричного» потока

$$\tilde{\mathbf{j}}(\mathbf{k}, t) = \text{Im}[\tilde{\Psi}^*(\mathbf{k}, t)\nabla_k \tilde{\Psi}(\mathbf{k}, t)], \quad (6)$$

где $\nabla_k \equiv \partial/\partial\mathbf{k}$, закручивается вокруг оси z , проходящей через эти центры.

Также можно легко убедиться, что в рассматриваемом случае средний импульс фотоэлектрона в состоянии (5) равен нулю

$$\langle k_{x,y} \rangle = \int k_{x,y} |\tilde{\Psi}(\mathbf{k}, t)|^2 \frac{d^2k}{2\pi} = 0, \quad (7)$$

где $k_x = k \cos(\varphi_k), k_y = k \sin(\varphi_k)$.

Это результат легко понять если вспомнить взятые параметры лазерного импульса и приближения используемые при выводе волновой функции фотоэлектрона (2). С математической точки зрения выражение (7) содержит следующие интегралы

$$\begin{aligned} & \int_0^{2\pi} \cos(\varphi_k) \cos(n\varphi_k) d\varphi_k, \\ & \int_0^{2\pi} \sin(\varphi_k) \cos(n\varphi_k) d\varphi_k, \end{aligned}$$

которые в нашем случае $n = 0, 2, 4$, обращают его в ноль.

Дисперсия любой из компонент импульса не равна нулю

$$\langle k_{x,y}^2 \rangle = \int k_{x,y}^2 |\tilde{\Psi}(\mathbf{k}, t)|^2 \frac{d^2k}{2\pi} \neq 0. \quad (8)$$

Интеграл (8) не удается вычислить аналитически. Ниже сравним значения численного решения (8) с приближенным решениями.

Несмотря на относительно простой вид волновой функции (5) при попытке записать её в координатном представлении наталкиваешься на существенные трудности при преобразовании Ханкеля [6]. Именно по этой причине исследование вихрей в обычном пространстве проводилось нами ранее только с помощью численного решения уравнения Шредингера [1].

Далее будем интересоваться поведением фотоэлектрона вблизи центров квантовых вихрей. Для этого разложим волновую функцию (5)

в ряд Тейлора вблизи k_0 . Так для отдельных функций из (5) имеем

$$\begin{aligned}
\sin(k^2 + 1) &\approx (k^2 - k_0^2), \\
\frac{1}{(k^2 + 1)^{3/2}(k^2 + (2\pi + 1))} &= \\
&= e^{-\ln[(k^2+1)^{3/2}(k^2+(2\pi+1))]} \approx \\
&\approx \frac{1}{8\sqrt{2}\pi^{5/2}} e^{-\frac{k^2-k_0^2}{\pi}}, \\
\frac{1}{(k^2 + 1)^{5/2}((k^2 + 1)^2 - 16\pi^2)} &= \\
&= e^{-\ln[(k^2+1)^{5/2}((k^2+1)^2-16\pi^2)]} \approx \\
&\approx -\frac{1}{48\sqrt{2}\pi^{9/2}} e^{-\frac{k^2-k_0^2}{\pi}}. \tag{9}
\end{aligned}$$

Учтём, что $((k^2 + 1)^2 - 4\pi^2) = (k^2 - k_0^2)(k^2 + (2\pi + 1))$ и опустим малое слагаемое пропорциональное $\cos^2(\varphi_k)$.

Тогда волновая функция фотоэлектрона (5) вблизи центра вихря, примет следующий вид

$$\begin{aligned}
\tilde{\Psi}(k, \varphi_k, t) &= A \cdot e^{-\frac{k^2-k_0^2}{\pi} + ik^2 - iE_k t} \times \\
&\times \left[k \cos(\varphi_k) + \frac{iF_0(k^2 - k_0^2)}{3\pi^2} \right]. \tag{10}
\end{aligned}$$

Полученное выражение (10) представляет собой гауссову функцию умноженную на полином второй степени относительно компонент импульса. Как видно, этот полином определяет нули волновой функции, соответствующие центрам вихрей (k_0, φ_0) . В самом деле, для нахождения значений (k_0, φ_0) достаточно приравнять мнимую и действительную части полинома нулю [7]-[9].

Вычисляя с помощью (10) средний импульс фотоэлектрона убеждаемся, что как и в случае с точной волной функцией (5), он равен нулю $\langle k_{x,y} \rangle = 0$. Для дисперсии получаем следующие выражения

$$\begin{aligned}
\langle k_x^2 \rangle &= \frac{\pi}{4} \frac{[27\pi^5 + F_0^2(4 - 8\pi + 6\pi^2)]}{9\pi^5 + 2F_0^2(2 - 6\pi + 5\pi^2)} \approx \frac{3\pi}{4}, \\
\langle k_y^2 \rangle &= \frac{\pi}{4} \frac{[9\pi^5 + F_0^2(4 - 8\pi + 6\pi^2)]}{9\pi^5 + 2F_0^2(2 - 6\pi + 5\pi^2)} \approx \frac{\pi}{4}. \tag{11}
\end{aligned}$$

Видно, что зависимость от напряжённости поля очень слабая. Если сравнить приближённые значения дисперсии (11) с соответствующими численными значениями, полученными с помощью (5), то последние примерно в 1.2 раза больше приближённых.

Основное преимущество выражения (10), по сравнению с его точным аналогом (5), заключается в том, что его легко можно переписать в координатном представлении. Не вдаваясь в подробности простых

вычислений выпишем ответ

$$\begin{aligned} \psi(r, \varphi, \tau) &= \\ \int_0^\infty \int_0^{2\pi} \tilde{\Psi}(k, \varphi_k, \tau) e^{ikr \cos(\varphi_k - \varphi)} \frac{k dk d\varphi_k}{(2\pi)^2} &= \\ = \frac{\tilde{A}}{a^3(\tau)} \cdot e^{-\frac{r^2}{a^2(\tau)} + i \frac{\pi r^2 \tau}{2a^2(\tau)}} \times \\ \times [(F_0(4(\pi - 1) + \pi^2(r^2 - k_0^2 \tau^2)) - 6\pi^3 r \cos(\varphi)) + \\ + i\pi\tau (2F_0(3\pi - 2) - 3\pi^3 r \cos(\varphi))] , \end{aligned} \quad (12)$$

где \tilde{A} - константа, $\mathbf{r} = (r, \varphi)$ - полярные координаты фотоэлектрона и введены обозначения: $a^2(\tau) = (4 + \pi^2 \tau^2)/\pi$, $\tau = t - 2$.

Используя (12) легко находим средние значения координат фотоэлектрона и их дисперсии

$$\begin{aligned} \langle x \rangle &\approx -\frac{12k_0^2}{9\pi^5} F_0, \langle y \rangle = 0 \\ \langle (\Delta x)^2 \rangle &= \langle x^2 \rangle - \langle x \rangle^2 \approx \frac{3\pi\tau^2}{4}, \\ \langle (\Delta y)^2 \rangle &= \langle y^2 \rangle - \langle y \rangle^2 \approx \frac{\pi\tau^2}{4}. \end{aligned} \quad (13)$$

При этом, как и должно быть, $a^2(\tau) \approx \langle (\Delta x)^2 \rangle + \langle (\Delta y)^2 \rangle$.

Полученная волновая функция в координатном представлении (12) имеет сходную структуру с волновой функцией в импульсном представлении (10). Гауссов множитель описывает расплывание образованного волнового пакета. Полином второй степени, относительно координат фотоэлектрона, несет информацию о квантовом вихре в обычном пространстве. Приравнивая нулю реальную и мнимую части выражения в квадратных скобках в (12) и решая получившуюся систему уравнений, находим координаты центров вихрей

$$x_0 = \frac{F_0(6\pi - 4)}{3\pi^3}, y_0 \approx \pm k_0 \tau. \quad (14)$$

В следующем разделе с помощью полученной волновой функции (12) исследуем структуру вихрей в координатном пространстве.

3 Результаты расчётов

Импульсное пространство. Вначале проверим, как изменилась плотность вероятности при разложении волновой функции вблизи центра вихря. Напомним, что везде момент времени t берется таким, что $t > T = 4$.

На рисунке 1 представлены графики плотности распределения фотоэлектрона по импульсам $\rho(\mathbf{k}) = |\tilde{\Psi}(\mathbf{k}, t)|^2$ (для более чёткого отображения графики строятся для $\ln(\rho)$), построенной с помощью «точной» волновой функции (5) Рис.1 а) и с помощью её приближённого выражения (10) Рис.1 б).

Аппроксимация волновой функции (5) гауссовой функцией привело к потере информации о состояниях фотоэлектрона, соответствующих цилиндрическим волнам. Однако информация о квантовых вихрях сохранилась, что видно не только по нулям плотности вероятности

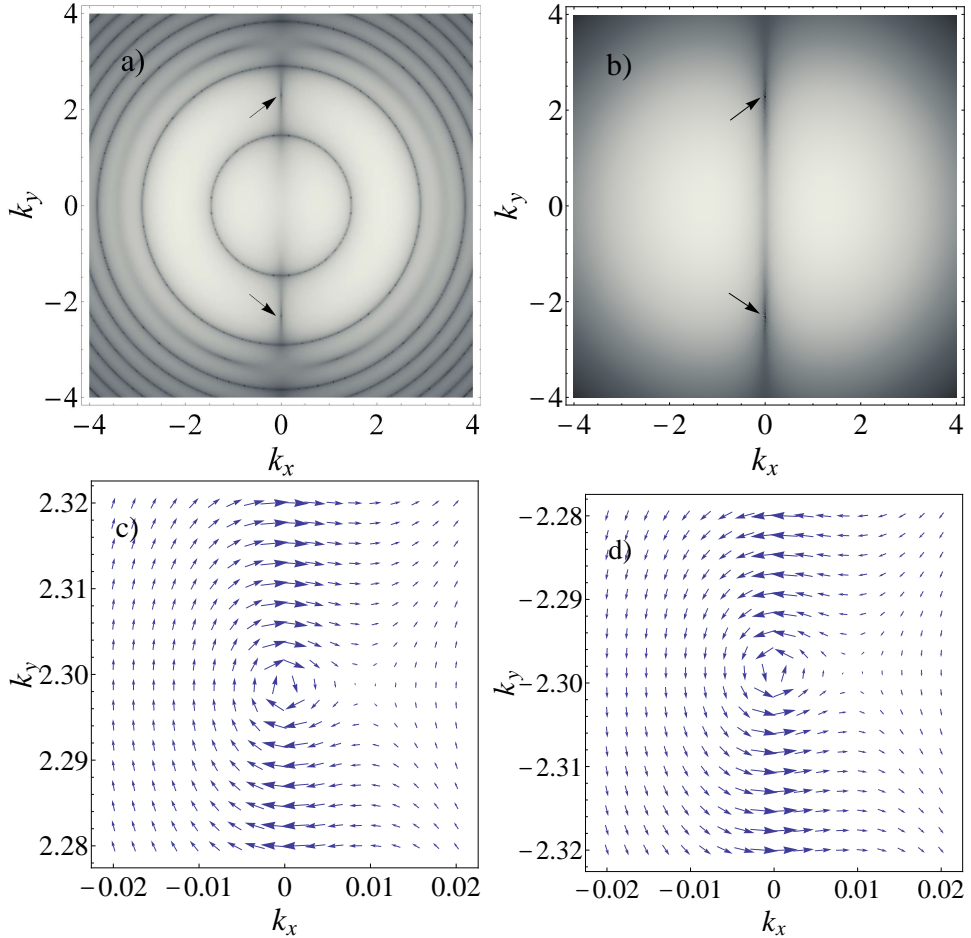


Рис. 1: а) и б) - плотность распределения фотоэлектрона по импульсам $\ln[\rho(k_x, k_y)]$. в) и г) - векторное поле $\bar{\mathbf{v}}(k_x, k_y, t)$ вблизи центров квазивихрей. Напряжённость лазерного поля $F_0 = 0.4$. Момент времени $t = 5$.

(стрелки), но и по характеру векторного поля Рис.1 в),г), построенного с помощью нормированного «симметричного» потока $\bar{\mathbf{v}}(\mathbf{k}, t) = \bar{\mathbf{j}}(\mathbf{k}, t)/\rho(\mathbf{k})$.

Здесь представлено поле $\bar{\mathbf{v}}(\mathbf{k}, t)$ полученное только с помощью приближённой функции (10). Для выбранной области значений k_x, k_y оно ничем не будет отличаться от поля, построенного с использованием «точной» функции (5) (см. [3]).

Заметим, что верхний и нижний вихри абсолютно одинаковы за исключением того, что направление вращение у них противоположны.

Также отметим, что в силу свободного движения фотоэлектрона плотность вероятности $\rho(\mathbf{k})$ записывается без аргумента t . Что же касается «симметричного» потока (6), то в силу его чувствительности к фазе волновой функции [4], временная зависимость сохраняется.

Координатное пространство. На следующем рисунке 2 представлены плотность вероятности распределения фотоэлектрона по коор-

динатам $\rho(\mathbf{r}, t) = |\psi(\mathbf{r}, t)|^2$ и поле скоростей фотоэлектрона

$$\mathbf{v}(\mathbf{r}, t) = \text{Im}[\psi^*(\mathbf{r}, t)\nabla\psi(\mathbf{r}, t)]/\rho(\mathbf{r}, t)$$

(термин «поле скоростей» заимствован из квантовой гидродинамики [10]-[12]), построенные с помощью найденной волновой функции фотоэлектрона в координатном представлении (12).

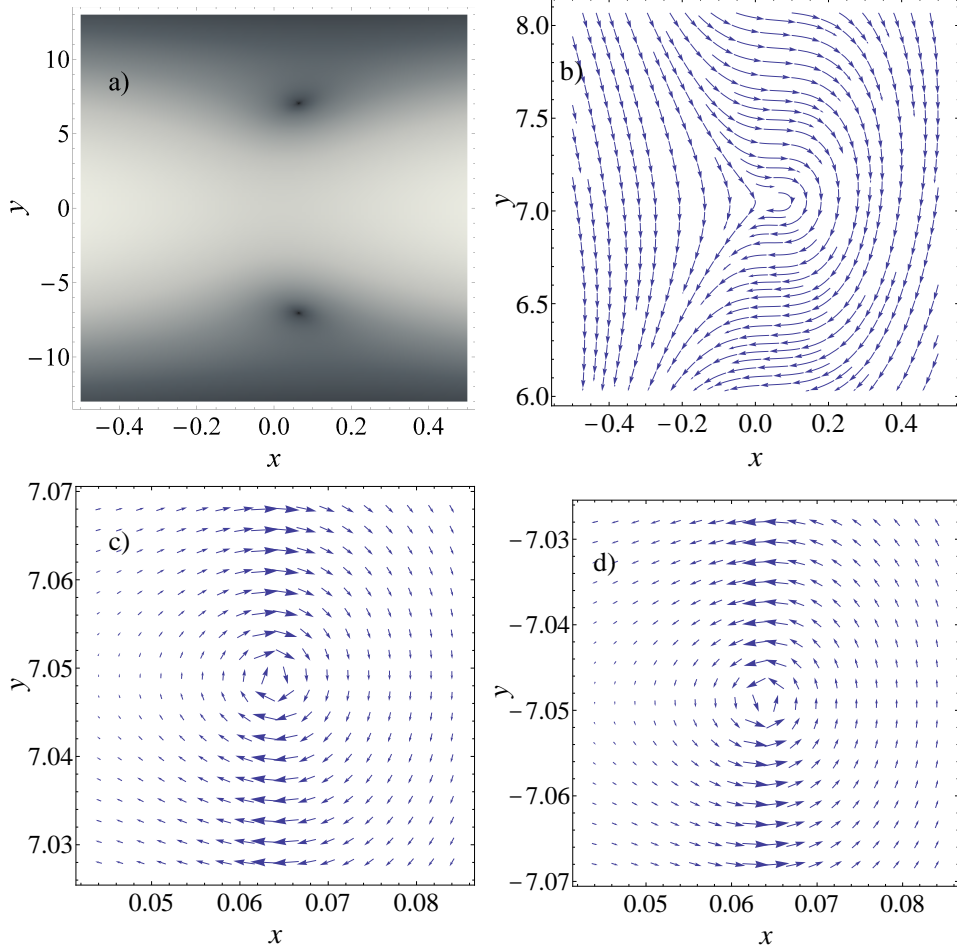


Рис. 2: а) - плотность распределения фотоэлектрона по координатам $\ln[\rho(x, y, t)]$. б), в), г) – векторное поле $\mathbf{v}(x, y, t)$ вблизи центров квантовых вихрей. Напряжённость лазерного поля $F_0 = 0.4$. Момент времени $t = 5$.

Также как и в импульсном пространстве имеются два симметричных вихря, с противоположным направлением вращения Рис.2 с),д). Координаты центров вихрей даются формулами (14) и равны $x_0 = 0.064$, $y_0 = \pm 7.05$.

Отметим сходство структуры вихрей в импульсном и координатном пространствах. Однако реальная геометрия вихрей в координатном пространстве, для выбранных параметров импульса, более сложная [1]. Предварительные расчёты показывают, что учёт слагаемого

$\sim \cos^2(\varphi_k)$, отброшенного нами при выводе (10), приведет к геометрии вихрей близкой к полученной нами ранее численно [1].

Теперь проследим временную эволюцию вихрей. На рисунке 3 для двух различных моментов времени $t_1 = 5$, $t_2 = 10$ представлено поле $\mathbf{v}(x, y, t_i)$, а также следующие зависимости модуля волновой функции $b_x(t_i) \equiv |\psi(x_0, y_0, t_i)|$, $b_y(t_i) \equiv |\psi(x_0, y_0, t_i)|$ от одной из координат (\tilde{b} - нормированный на свой максимум модуль волновой функции b).

Видно, что расплывание волнового пакета, отображенное на графиках Рис.3 c),d), не изменяет геометрию и масштаба вихря Рис.3 a),b). Вихрь перемещается в пространстве без изменений и координата его центра описывается формулой (14): $t_1 - x_0 = 0.064$, $y_0 = \pm 7.05$; $t_2 - x_0 = 0.064$, $y_0 = \pm 18.446$.

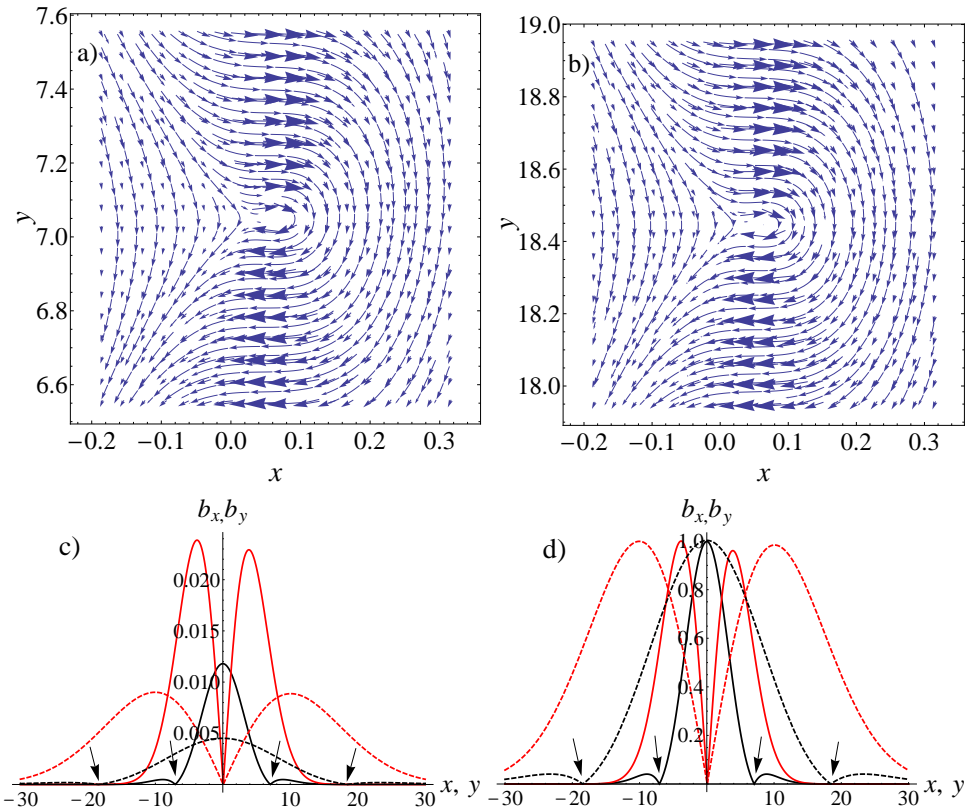


Рис. 3: Векторное поле $\mathbf{v}(x, y, t_i)$ вблизи центров квантовых вихрей в разные моменты времени: a) $t_1 = 5$, b) $t_2 = 10$. c),d) – зависимость абсолютных значений волновой функции b_x (красная кривая), b_y (чёрная кривая) от компонент x , y , соответственно: $t_1 = 5$ – сплошная линия, $t_2 = 10$ – пунктирная линия. Стрелками указаны центры вихрей. Напряжённость лазерного поля $F_0 = 0.4$.

На следующем рисунке 4 построено поле скоростей фотоэлектрона $\mathbf{v}(x, y, t)$ при разных значениях напряжённости F_0 ионизирующего лазерного импульса. Здесь, учитывая внезапность включения поля (1), мы выходим за пределы малых возмущений [13].

Из графиков видно, что увеличение напряжённости поля F_0 при-

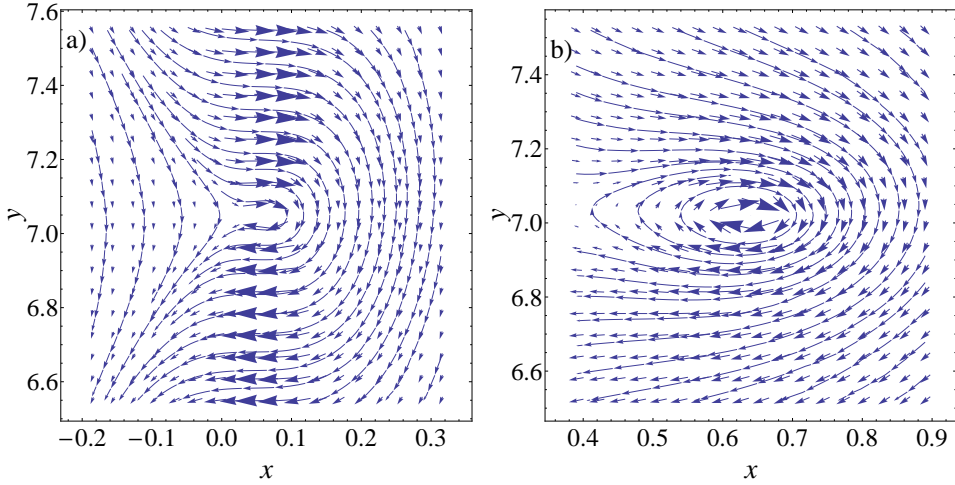


Рис. 4: Векторное поле $\mathbf{v}(x, y, t_i)$ вблизи центров квантовых вихрей: а) $F_0 = 0.4$, $x_0 = 0.064$, $y_0 = 7.05$; б) $F_0 = 4$, $x_0 = 0.64$, $y_0 = 7.02$. Момент времени $t = 5$.

водит к увеличению масштаба вихря. Построенные линии тока отчётливо демонстрируют, что в случае большой напряжённости F_0 поле скоростей $\mathbf{v}(x, y, t)$ имеет форму близкую к соленоидальной на гораздо больших масштабах, чем в случае малых напряжённостей (см. Рис.2 c),d)).

4 Заключение

В данной работе для фотоэлектрона, вырванного из двумерного атома водорода предельно коротким лазерным импульсом, была получена волновая функция, описывающая квантовые вихри. Аналитическое выражение этой волновой функции, как в импульсном, так и в координатном представлении имеет простой вид – гауссова функция умноженная на полином второй степени относительно координат фотоэлектрона. Полином несет информацию о центрах квантовых вихрей и отвечает за вихревое поведение поля скоростей фотоэлектрона, а гауссова функция описывает расплывание образованного волнового пакета.

Полученная волновая функция позволила исследовать эволюцию квантового вихря в координатном пространстве: вихрь перемещается в пространстве без искажений со скоростью определяемой нулём волновой функции в импульсном представлении, соответствующим центру квантового вихря.

Показано, что масштаб вихря, формально определяемый как область в которой векторное поле скоростей имеет соленоидальную структуру, может быть изменён варьированием величины напряжённости электрического поля ионизирующего импульса.

Список литературы

- [1] С.Ю. Овчинников, Н.В. Ларионов, А.А. Смирновский, А.А. Шмидт, Научно-технические ведомости Санкт-Петербургского государственного политехнического университета. Физико-математические науки **10**, 111 (2017), DOI: 10.18721/JPM.10409.
- [2] Н.В. Ларионов, В.М. Молчановский, Опт. и спектр. **131**, 1449 (2023), DOI: 10.61011/OS.2023.11.56998.5238-23.
- [3] Н.В. Ларионов, ЖЭТФ, (2024), готовится к печати.
- [4] R.F. Nalewajski, J Math Chem **53**, 1966 (2015), DOI: 10.1007/s10910-015-0526-2.
- [5] В.М. Галицкий, Б.М. Карнаков, В.И. Коган, Задачи по квантовой механике: учебное пособие для вузов, Наука, Москва (1992).
- [6] В.А. Диткин, А.П. Прудников, Интегральные преобразования и операционное исчисление, Физматгиз, Москва (1961).
- [7] S.Y. Ovchinnikov, J. Sternberg, J. Macek, T.-G. Lee, D.R. Schultz, Phys. Rev. Lett. **105**, 203005 (2010), DOI: 10.1103/PhysRevLett.105.203005.
- [8] F. Navarrete, R. Della Picca, J. Fiol, R.O. Barrachina, J. Phys. B: At. Mol. Opt. Phys. **46**, 115203 (2013), DOI: 10.1088/0953-4075/46/11/115203.
- [9] S.Y. Ovchinnikov, J.H. Macek, D.R. Schultz, Phys. Rev. A **90**, 062713 (2014), DOI: 10.1103/PhysRevA.90.062713.
- [10] E. Madelung, Z. Phys. **40**, 332–326 (1926).
- [11] T. Takabayashi, Prog. Theor. Phys. **8**, 143 (1952).
- [12] A. Visinescu, D. Grecu, R. Fedele, S. De Nicola, Theor. Math. Phys. **160**, 1066–1074 (2009), DOI: 10.1007/s11232-009-0098-z.
- [13] Л. Д. Ландау, Е. М. Лифшиц, Теоретическая физика в 10 томах. Том 3. Квантовая механика (нерелятивистская теория), Физматлит, Москва (2004).